

دراسة تحليلية لتأثير وجود قبة بيتونية مسلحة على السلوك الزلالي لمبني إطاري من البيتون المسلح

*د.م. تراث غريب ** أ. د.م عبد الرزاق سالم *** م. بيان الكرم

(الإيداع: 4 تشرين الأول 2021، القبول: 29 آذار 2022)

الملخص:

تعتبر القباب البيتونية المسلحة سمة معمارية ومدنية لعديد من المنشآت البيتونية المسلحة (المراكز الدينية ، صوامع ، خزانات ، صالات) وغيرها من المنشآت، وتنوعت أشكال القباب وطرق بناءها عبر العصور وذلك وفقاً للثقافات والإمكانيات المتاحة لكل عصر. يتناول البحث دراسة تحليلية زلالية لمبني إطاري بيتوني مسلح متوازن في المنطقة الزلالية الثالثة، بوجود قشرية رقيقة في طابقه العلوي وهو عبارة عن قبة كروية بيتونية مسلحة محمولة على أعمدة قصيرة. تم إجراء التحليل الزلالي وفق طريقة الدفع المتالي (الطريقة الستاتيكية اللاخطية) باستخدام برنامج التحليل الإنشائي ETABS-2016. تمت مقارنة الخصائص الزلالية للمنشأ قبل وبعد إضافة القبة البيتونية المسلحة، وهي قوة القص القاعدي للمنشأ 7، وقوة القص الطابقية للطابق الحامل للقبة F، الدور الأساسي للاهتزاز T ونسبة مساهمة الكتلة الموقعة له 3m%， وعدد المفاصل المتشكلة في المبني عند الانتقال الهدف بالإضافة إلى ظهور أول مفصل لدن . بلغ عدد النماذج المدرسوة 10 عشرة نماذج عبارة عن خمس مجموعات في كل مجموعة نموذج مرجعي بدون قبة وأخر مع قبة، وتحتفي المجموعات عن بعضها بعدد الطوابق حيث تراوحت بين (3-5-10-15-19) طابقاً. بينت النتائج أن إضافة القبة على المبني لها فائدة كبيرة بتأخير ظهور أول مفصل لدن في المبني المرجعي غير الحامل للقبة في حين أن أثر إضافة القبة والعناصر الحاملة لها على المبني لم يكن كبير على قوة القص القاعدي للمبني وفق الطريقة المتبعة إلى أن تأثر باقي الخصائص (قوة قص طابقية ، مفاصل لدن ، ونسبة مساهمة الكتلة ...) كان ملحوظاً، وبلغ أكبر زيادة في قوة القص الطابقية حوالي 7.3% من أجل العينة ذات الـ 15 طابق.

الكلمات المفتاحية: طريقة الدفع المتالي، إطارات مقاومة للعزوم، قبة بيتونية مسلحة، ارتفاعات مختلفة.

*مدرس في قسم الهندسة الإنشائية - كلية الهندسة المدنية - جامعة البعث

*أستاذ في قسم الهندسة الإنشائية - كلية الهندسة المدنية - جامعة حماه

**طالبة ماجستير في قسم الهندسة المدنية - جامعة البعث

Analytical study of the effect of the presence of a reinforced concrete dome on the seismic behavior of a frame building of reinforced concrete

Dr.En- Torath Gharib*** En.Bayan Alkarma** Dr. En- Abdurazzak Salem*

(Received: 4 October 2021, Accepted: 29 March 2022)

Abstract:

Reinforced concrete domes are an architectural and civil feature of many reinforced concrete structures such as religious centers, silos, tanks, halls, and other facilities. The research deals with a seismic analytical study of a symmetrical reinforced concrete frame building in the third seismic zone, with thin crust on its upper floor consisting of a spherical reinforced concrete dome carried on short columns. The analysis was carried out according to the successive push method (nonlinear static method) using the structural analysis program ETABS-2016. The seismic characteristics of the structure were compared before and after adding the reinforced concrete dome, and these characteristics are the base shear strength of the structure V, the floor shear strength of the bearing floor of the dome F, The main role of vibration T and the corresponding mass contribution ratio m%, the number of joints formed in the building when moving the target in addition to monitoring the appearance of the first plastic joint; The number of studied models reached 10, ten models, five groups in each group, a reference model without a dome and another with a dome, and the groups differ from each other in the number of floors, which ranged between (3-5-10-19-15) floors. The results showed that adding the dome to the building has a great benefit in delaying the appearance of the first plastic joint in the reference building that is not bearing the dome, while the effect of adding the dome and its bearing elements on the building was not significant on the base shear strength of the building according to the method used until the rest of the characteristics were affected (Strength Floor shear, elastic joints, mass contribution ratio...) was significant, and the largest increase in floor shear strength was about 7.3% for the 15-storey sample.

Key words: pushover method, moment resisting frame, reinforced concrete dome, different high

* Lecturer, department of structural Engineering, faculty of civil engineering, AL Baath university.

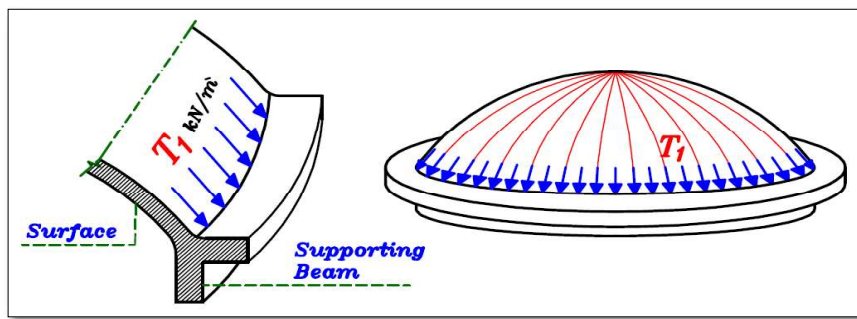
** professor, department of structural Engineering, faculty of civil engineering, Hama university

*** student, department of structural Engineering, faculty of civil engineering, AL Baath university

1. مقدمة:

القبة البيتونية المسلحة واحدة من أكثر الهياكل كفاءة واستقراراً بطبعتها بفضل شكلها الهندسي وأالية حملها، القبة أو الغطاء الكروي: عبارة عن هيكل قشري منحني بشكل مزدوج، أقوى وأكثر ثباتاً من الهياكل القشرية الأخرى. فبالإضافة للشكل المستقر، تحمل الهياكل القشرية عموماً، الأحمال المطبقة عليها بواسطة آلية فعالة تعرف باسم العمل الغشائي، على عكس الهياكل الخطية، ويفرض العمل الغشائي على وجود إجهادات قص ناظمية ومماسية فقط داخل المستوى، مما يمكن القشرة بسمكية صغيرة من امتصاص أحمال كبيرة جداً مع نتائج إجهاد منخفضة نسبياً داخل المستوى. ونتيجة لذلك تتمتع هياكل القشرية بنسبة قوة إلى وزن عالية مقارنة بالأنظمة الهيكيلية الأخرى، وهي قادرة على تغطية الامتدادات الكبيرة بسمكيات صغيرة جداً. [1] وقد تحدث عزوم انعطاف في مناطق من هيكل القشرية لتلبية متطلبات التوازن، ولكنها بشكل عام ذات تأثير محلي، وتقتصر على محيط الاستاد، ولذلك تتطلب القبة عنصراً هيكلياً داعماً لامتصاص الدفع الأفقي الكبير عند حدودها. يشار للعضو الداعم عادة باسم حلقة القبة أو الجائز الحلقي.

يوضح الشكل التالي آلية انتقال الحمولات في القباب البيتونية وفق فرضيات النظرية الغشائية.



الشكل رقم (1): يبين طريقة انتقال الحمولات من القشرية إلى الجائز الحلقي.

2. مشكلة البحث:

إلقاء الضوء على واقع المنشآت التي تعلوها قبة بيтонية مسلحة من حيث معرفة الخصائص الزلزالية لإضافة القبة على المنشأ. وهل لوجود القبة التأثير نفسه في حال تغيير ارتفاع المنشأ.

3. هدف البحث:

يهدف هذا البحث لتقييم أثر وجود قبة بيتونية مسلحة على السلوك الزلزالي للمنشآت البيتونية المسلحة باختلاف ارتفاعها، من خلال مقارنة كل من قوة القص القاعدي للمنشأ σ_u ، القص الطابقية للطبق الحامل للقبة F ، والدور الأساسي للاهتزاز ونسبة مساحة الكتلة المموافقة له ، وعدد المفاصل المشكّلة عند الانتقال الهدف وظهور أول مفصل لدن في المنشأ .

4. الدراسة المرجعية:

أظهرت القصريات الخرسانية المسلحة في العقود الماضية قدرتها على مقاومة الحمولات الكبيرة الناتجة عن الكوارث الطبيعية. على سبيل المثال، لملاعب ميامي المؤلف من سقف على شكل قبة إهليجي تعرض عام 1992م إلى إعصار أندرو من الفئة الـ 5 دون أضرار. ونجت قبة (Pensacola Beach) البيتونية المسلحة من إعصار Ivan عام 2004م و انهارت عدة مباني مجاورة بشكل جزئي أو كلي. وبالمثل صمدت قبة كنيسة Our Miraculous 8Mw أمام زلزال بقوة الذي هز مدينة مكسيكو عام 1985 دون الإبلاغ عن أضرار على الرغم من وقوعها على تربة ضعيفة على صفة بحيرة.

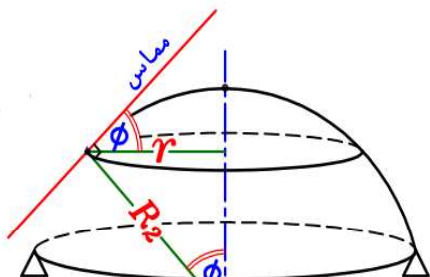
تصرفت القشريات بشكل من أثناء الزلزال وتمكنت من تحملها دون حدوث تشوهات في الخرسانة. [1] ووفق المرجع [2] يعود هذا الصمود لكون تردد القشرية قليلاً نسبياً مقابل التردد الزلزالي، وذلك بسبب الشكل الهندسي للقبة، وخفتها وزنها باعتبار الكتلة تتاسب طرداً مع القوى الزلزالية. قام كل من (Mohammed و Abdallah) بدراسة الخصائص الديناميكية لقبة بيتونية مسلحة ذات الشكل البيضوي من خلال النظر إلى أنماط الاهتزاز الطبيعية للقبة وعلاقتها مع ارتفاع القبة وسماكتها باستخدام برنامج SAP2000 تم أجراء الدراسة على 29 عينة أظهرت النتائج تأثير تردد الاهتزاز للقبة بالشكل الهندسي المختار لها. [3] كما بين (Michel Adriaenssens و Michel Adriaenssens) بدراسة زلزالية لعناصر قشرية من الびتون المسلح باستخدام برنامج ABQUS. حيث تم استخدام نوعين من القشريات البيتونية المسلحة إحداها وحيدة الانحناء والأخرى ذات انحناء مزدوج بمسقط مربع، متغيرات الدراسة نسبة قطر القشرية إلى ارتفاعها أشار الباحث إلى أن شكل القشرية يلعب دوراً كبيراً في مقاومتها الزلزالية إلى أن القرب من المصدر الزلزالي قد يؤدي لأضرار كارثية في القشرية. أظهرت النتائج أن لشكل القشرية دوراً كبيراً في مقاومتها الزلزالية. [2]

ركزت معظم الدراسات السابقة على قدرة القشرية على مقاومة الزلزلية إلا أنها لم تلحظ تأثيرها على المبني الحامل لها بطريقة إيجابية أو سلبية لذلك في هذه الدراسة سننظر إلى الخصائص الزلزالية في المنشأ الحاوي على قبة.

5. فرضيات البحث:

تم استخدام طريقة الدفع المتالي في التحليل الزلزالي تمت مقارنة النتائج النهائية للعينات وفق هذه الطريقة. ومقارنة صحة نمذجة القبة بعد تحليلها في البرنامج المعتمد على طريقة العناصر المحدودة مع نتائج الحل اليدوي وفق النظرية الغشائية بناءً على ما جاءت به الدراسات السابقة [4]. تم اعتماد مسقط متواز للمنشأ بفتحة مثمنة في الطابق الأخير كما هو موضح في الشكل 3. تستند القبة على المنشأ عبر أعمدة قصيرة كما هو موضح في الشكل 4. يتكون المنشأ من 6 طوابق ارتفاع الطابقي 3m البناء يقاوم الأحمال الجانبية بجملته الإطارية. أبعاد المسقط المترعر (14.6 × 14.6m) بمساحة 214.44m² والفتحة المثلثة في الطابق الأخير مساحتها (53.05m²) أي ما يعادل 24.75% من مساحة المقطع. وعليه الطابق مطلق الصلابة في مستوى.

خصائص المواد كالتالي: إجهاد الخضوع لفولاذ التسلیح $f_y=400 \text{ MPa}$ ، المقاومة المميزة للبیتون $f_c=30 \text{ MPa}$



الشكل رقم (2): عناصر القبة

الجدول رقم (1): عناصر القبة المدروسة

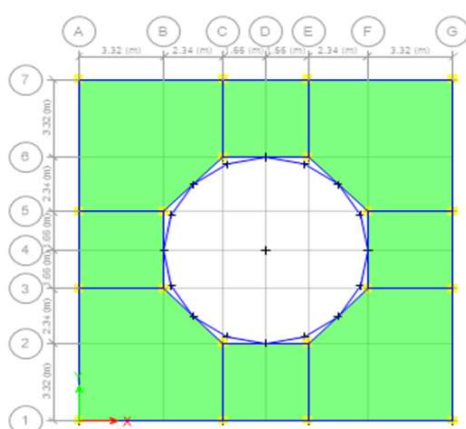
سماكه القشرية	$\text{cm } 10=t$
نصف قطر دائرة الأفقية	$4\text{m}=r$
ارتفاع القبة	$4\text{m}=F$
نصف قطر الدوران	$4\text{m}=R_2$
الزاوية المركزية	$\Phi_{\max}=90$

تم تصنيف النماذج المدروسة وفق الجدول التالي:

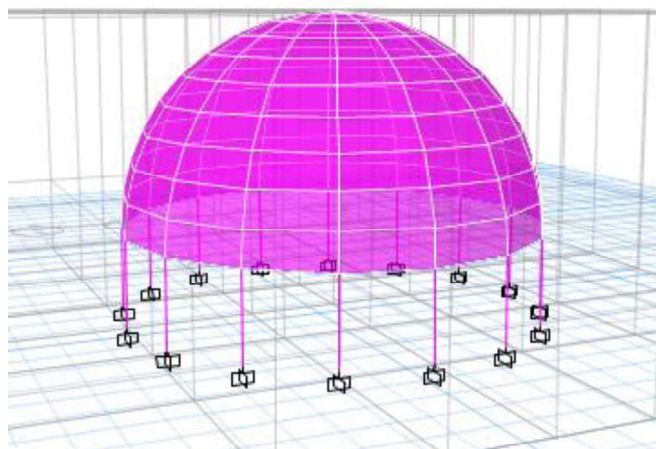
الجدول رقم (2): النماذج المدروسة

B19	B15	B10	B5	B3	عدد الطوابق (n)
B19-F	B15-F	B10-F	B5-F	B3-F	النموذج المرجعي بدون قبة جملة إطارية
B19-FD	B15-FD	B10-FD	B5-FD	B3-FD	النموذج بقبة جملة إطارية

تمت دراسة 5 نماذج مرجعية لمبني لا تحتوي قبة باختلاف عدد الطوابق فيها، و تم تصميم كل مبني مرجعي لمقاومة



الشكل رقم (3) : مسقط المبني



الشكل رقم (4): نموذج للقبة على أعمدة قصيرة

خطوات النماذج:

تمت النماذج على برنامج التحليل الإنشائي ETABS وفق الخطوات التالية: تم تعريف الشبكة الرأسية والأفقية للنموذج المدروس، من ثم خصائص المواد الميكانيكية وخصائص العناصر الهندسية من أعمدة وجوانز وبلاطات وجدران، بعد رسم العناصر على محاور الشبكة تم تخصيص الحمولات الساكنة عليها وفق الكود العربي السوري [7] كما تم تعريف الحمولات الزلزالية بالطريقة الستاتيكية المكافئة الثانية بتعریف العوامل الزلزالية للمنطقة المدروسة وفق الكود العربي السوري وقيم عوامل التصميم الزلزالية موجودة في الجدول 3.

الجدول رقم (3) العوامل الزلزالية وفق المنطقة والجملة المقاومة للزلزال

Cv	0.38
Ca	0.29
I	1
R	8
Ct	0.073

من ثم تحليل النموذج بشكل أولي وأجراء المعايرات الزلزالية اللازمة (وفق توصيات الكود العربي السوري من حيث تحقيق الفتل والانتقالات المسموحة واللامركزية) كما تم تصميم العناصر بشكل أولي بعد تعريف تركيب الأحمال الموقعة ووفق

الشروط التصميمية الواردة في ملحق الزلازل. [5] تم إيجاد الانتقال الهدف لكل نموذج حسب عدد الطوابق وفق العلاقة التالية حسب [5] : FEMA 356

$$\delta_t = C_0 \cdot C_1 \cdot C_2 \cdot C_3 \cdot S_a \cdot \frac{T_e^2}{4\pi^2} g$$

C_0 : معامل يتعلق بالعلاقة بين الانتقال الطيفي للجملة SDOF المكافئة وانتقال السقف المحمول لجملة MDOF ويحسب بعدة طرق ، لكن يفضلأخذ القيم الموجودة في الجدول(4).

الجدول رقم (4): إيجاد قيمة المعامل C_0 وفق عدد الطوابق

عدد الطوابق	C_0
1	1
2	1.2
3	1.3
5	1.4
10+	1.5

C_1 : معامل يتعلق بالعلاقة بين الانتقال اللاخطي الاعظمي المتوقع والانتقال المحسوب الناتج عن الاستجابة الخطية المرنة ويحسب كما يأتي:

$$FOR \quad T_e \geq T_s \rightarrow C_1 = 1$$

$$FOR \quad T_e < T_s \rightarrow C_1 = \frac{1 + \frac{(R-1)}{T_e}}{R}$$

حيث: T_s : الدور المحدد من طيف الاستجابة وهو الدور المقابل للانتقال من قسم ذي التسارع الثابت من الطيف إلى القسم ذي الرعة الثابتة من الطيف (SEC). C_2 : معامل تعديل ، لتمثيل تأثير شكل الحلقة الهيستيرية وانخفاض الصلابة والمقاومة

الجدول رقم (5): إيجاد قيمة المعامل C_2 وفق مستوى الأداء

مستويات الأداء	قيمة C_2	
مستويات الأداء غير العالية	$C_2 = 1$	
مستويات الأداء العالي	حالة الإشغال الفوري IO	$C_2 = 1$
	المحافظة على الحياة LS	$FOR \quad T \leq 0.1 \quad C_2 = 1.3$
		$FOR \quad T \geq T_s \quad C_2 = 1.1$
	تجنب الانهيار CP	$FOR \quad T \leq 0.1 \quad C_2 = 1.5$
		$FOR \quad T \geq T_s \quad C_2 = 1.2$

المحتملة على انتقال الاستجابة العظمى ، تؤخذ قيم المعامل من الجدول 5.

C3: معامل تعديل لتمثيل الزيادة في الانتقال نتيجة الأضرار التأثير من الدرجة الثانية أو مايعرف بتأثير $P-\Delta$ ويحسب من العلاقة الآتية:

$$C_3 = 1 + \frac{|\alpha|(R - 1)^{3/2}}{T_e}$$

$|\alpha|$ - نسبة صلابة مابعد الخضوع إلى الصلابة المرنة الغالية.

R- نسبة مقاومة الطلب اللامرن إلى معامل مقاومة الخضوع المحسوب وتحسب كما يأتي:

$$R = \frac{S_a}{V_y/W} \cdot C_m$$

S_a تسارع طيف الاستجابة عند الدور الأساسي الفعال باعتبار نسبة التخادم للمبني.

V_y : قوة الخضوع (KN).

W: وزن المبني (KN).

C_m : عامل الكتلة الفعالة ويؤخذ 1 إذا كان الدور أكبر من 1 ثانية، وإذا كان غير ذلك يؤخذ من الجدول 6.

الجدول رقم (6): إيجاد قيمة العامل C_m وفق الجملة المقاومة للزلزال

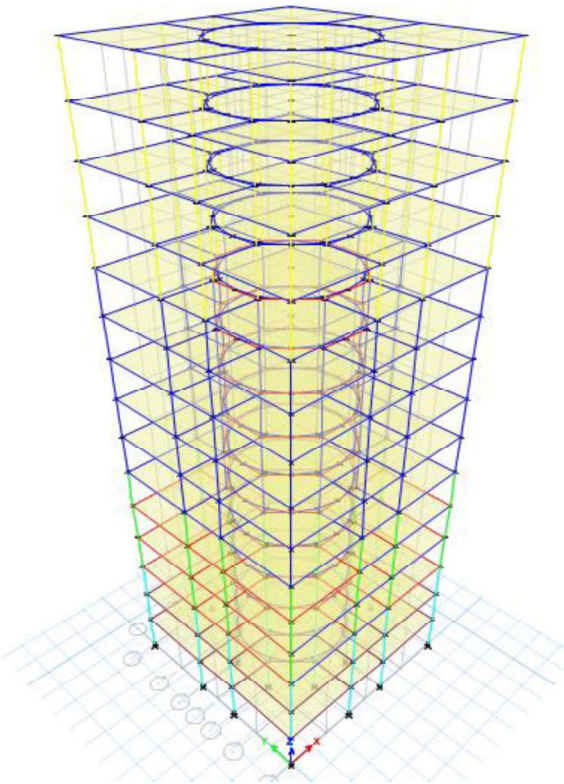
عدد الطوابق	إطارات بيتونية مقاومة للعزوم	جدران قص بيتونية	دعائم أو جوانز رابطة
1-2	1.0	1.0	1.0
أو أكثر 3	0.9	0.8	0.8

وبالتالي لدينا: لكل نموذج بحسب ارتفاع المبني والجملة المقاومة للزلزال انتقال هدف معين كالتالي:

الجدول رقم (7): قيمة الانتقال الهدف لك مجموعة باختلاف الارتفاع

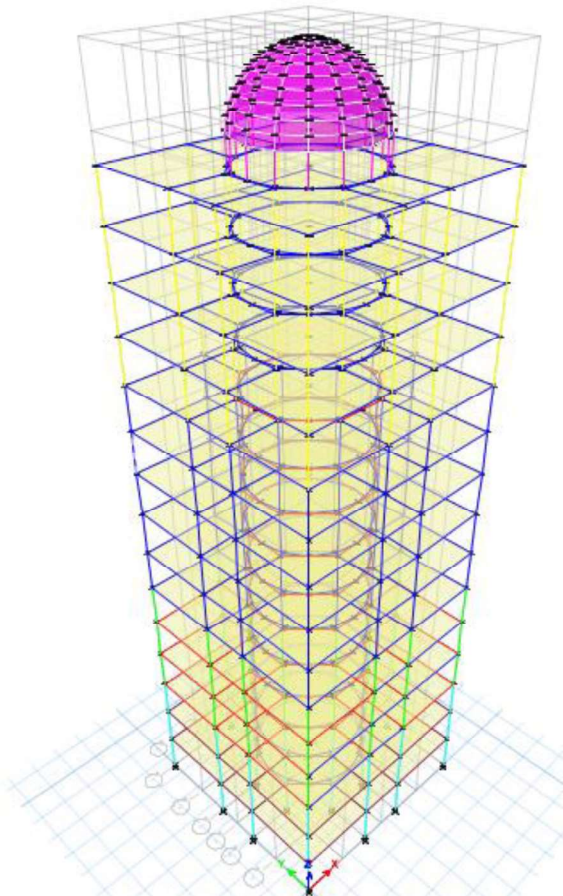
الجملة الإطارية							عدد الطوابق
19	15	10	6	5	4	3	
1.5	1.5	1.5	1.5	1.4	1.4	1.3	C0
1.0	1.0	1.0	1.0	1.0	1.0	1.0	C1
1.3	1.3	1.1	1.1	1.1	1.1	1.1	C2
1.0	1.0	1.0	1.0	1.0	1.0	1.0	C3
1.5	1.3	0.9	0.6	0.6	0.5	0.4	T_e
10.0	10.0	10.0	10.0	10.0	10.0	10.0	G
0.7	0.7	0.7	0.7	0.7	0.7	0.7	T_s
0.3	0.3	0.5	0.6	0.8	0.9	1.2	S_a
329.6	276.0	172.3	106.8	95.6	78.0	61.1	Δ

تم تعريف الحمولة الميتة كحمولة لاختطية ومن ثم تم تعريف حمولة جديدة هي حمولة دفع لاختطية ، ومن ثم تم إجراء التحليل و استخلاص النتائج .
مثال عن النماذج المدروسة قبل التحليل :



الشكل رقم (5) : B15-F

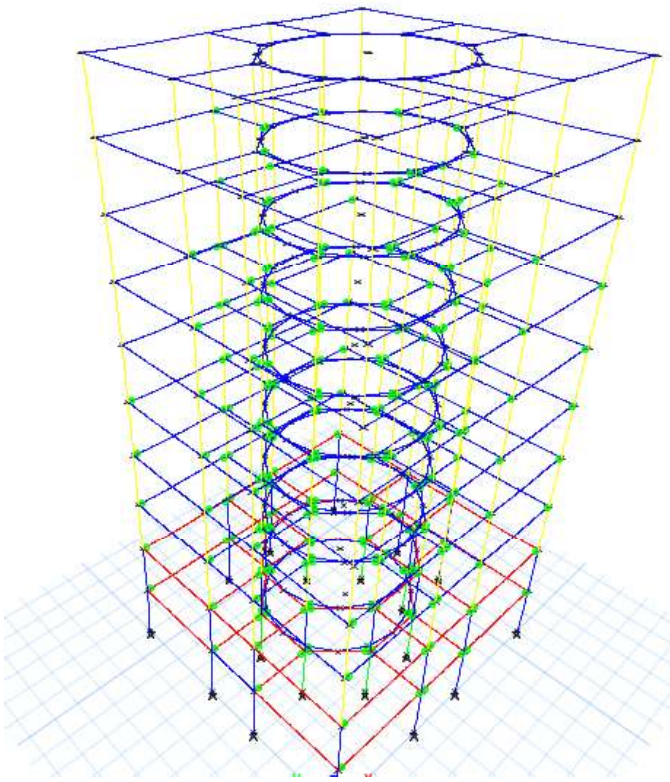
نموذج مرجعي لمبني خمسة عشر طابقا بجملة إطارية



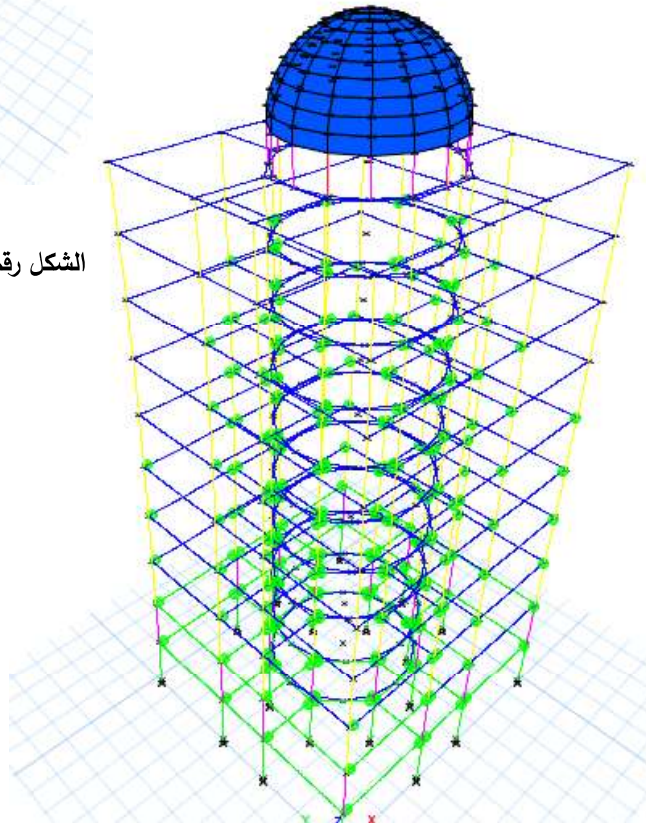
الشكل رقم (6) : نموذج B15-FD

نموذج لمبني خمسة عشر طابقا بجملة إطارية مع قبة

مثال عن النماذج المدرسوة بعد التحليل:



الشكل رقم (7): النموذج المرجعي بعد التحليل عند الانتقال الهدف



الشكل رقم (8): النموذج مع قبة بعد التحليل عند الانتقال الهدف

6. النتائج الأولية

سيتم عرض الخصائص الزلالية لكل مجموعة بشكل منفرد.

الجدول (8) خطوات الدفع للنموذج (B3-F,B3-FD)

B3-F						B3-FD					
خطوة	الانتقال	قوة القص	القاعدي KN	عدد المفاصل الكلي	المفاصل المتشكلة	خطوة	الانتقال	قوة القص	القاعدي KN	عدد المفاصل الكلي	المفاصل المتشكلة
0	0	0	376	0	0	0	0.0	0	416	0	0
1	6	175	376	0	1	6.0	175	416	416	0	0
2	12	351	376	0	2	12.0	350	416	416	0	0
3	18	526	376	0	3	18.0	526	416	416	0	0
4	24	701	376	0	4	24.0	701	416	416	0	0
5	28	822	373	3	5	28.1	820	415	415	1	1
6	35	1012	362	14	6	34.7	1008	404	404	12	12
7	41	1196	350	26	7	41.7	1203	392	392	24	24
8	48	1361	324	52	8	48.2	1377	364	364	52	52
9	54	1529	306	70	9	54.7	1542	349	349	67	67
10	60	1653	288	88	10	60.0	1662	331	331	85	85

الجدول رقم (9): توزيع قوة القص الطابقية (B3-F,B3-FD)

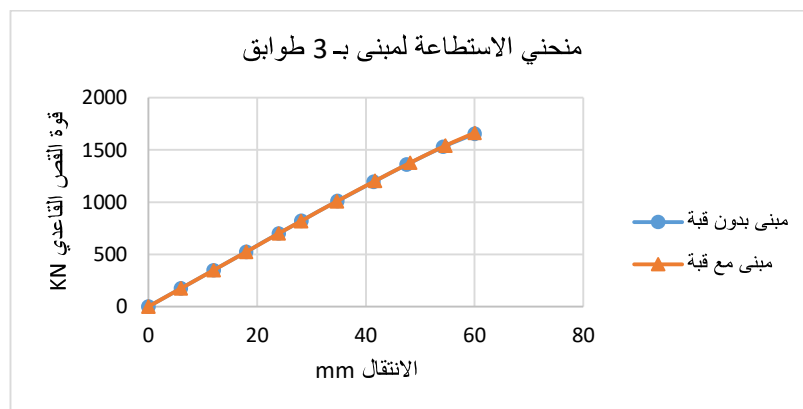
B3-F		B3-FD		Δ
الطابق	قوة القص الطابقية	الطابق	قوة القص الطابقية	
3	-679.3213	3	-687.15	-7.829
2	-1328.6996	2	-1337.3411	-8.642
1	-1653.3887	1	-1662.4367	-9.048

يبين الجدول(8) قوة القص القاعدي والانتقال الموافق وعدد المفاصل اللدنة لكل خوة من خطوات الدفع . كما يبين الجدول

(9) قوة القص الطابقية في كل طابق .

- نلاحظ ازدياد قوة القص القاعدي بمقدار KN 9 بعد وضع القبة على المبني وذلك عند الأخيرة من خطوات الدفع، كما أن وجود القبة أدى إلى تأخير ظهور المفصل اللدن في المبني، بينما قلت عدد المفاصل المتشكلة في الخطوة الأخيرة عند الانتقال المحدد حوالي 3 مفاصل.

- في حين أدى وجود القبة إلى إعادة توزيع قوة القص الطابقية على الطوابق (انخفضت قوة القص الطابقية للطوابق جميعها).



الشكل رقم (9) : (قوة القص القاعدي-الانتقال المقابل)



الشكل رقم (10): قوة القص الطابقية في كل طابق

- ❖ يبين الجدول(10) قوة القص القاعدي والانتقال الموافق وعدد المفاصل اللدنة لكل خوة من خطوات الدفع . كما يبين الجدول (11) قوة القص الطابقية في كل طابق .

الجدول (10) خطوات الدفع للنموذج (B5-FD), (B5-F)

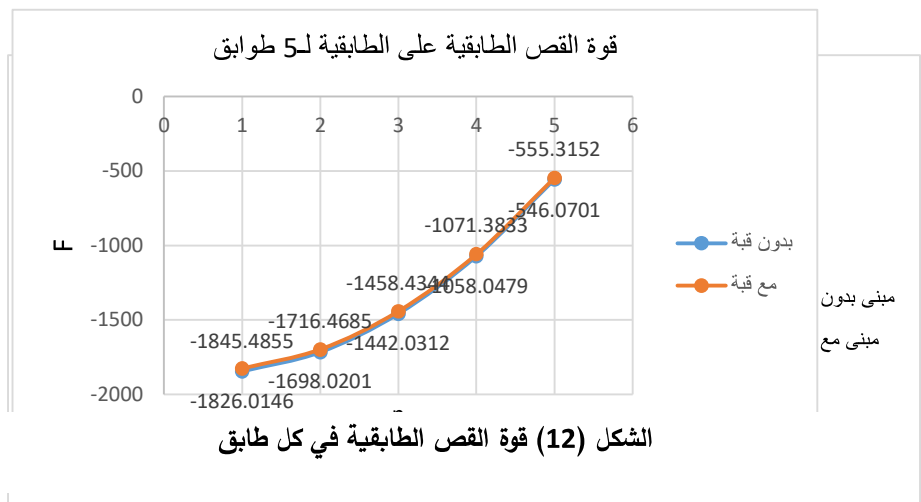
B5-F						B5-FD					
خطوة	الانتقال مع	قوة القص KN	القاعدي ي	عدد المفاصل الكلي	المفصل المشكلة	خطوة	الانتقال مع	قوة القص KN	القاعدي ي	عدد المفاصل الكلي	المفصل المشكلة
0	0.0	0	632	0	0	0	0	0	672	0	0
1	9.6	196	632	0	1	10	196	672	672	0	0
2	19.2	391	632	0	2	19	391	672	672	0	0
3	24.2	492	631	1	3	29	587	672	672	0	0
4	33.8	687	620	12	4	38	783	672	672	0	0
5	44.0	889	600	32	5	42	851	671	671	1	0
6	54.0	1079	583	49	6	52	1063	651	651	21	0
7	65.1	1286	546	86	7	63	1273	603	603	69	0
8	75.3	1471	538	94	8	74	1472	572	572	100	0
9	85.9	1661	517	115	9	85	1671	542	542	130	0
10	96.0	1826	493	139	10	95	1833	523	523	149	0
					11	96	1845	521	521	151	0

الجدول رقم (11) : توزع قوة القص الطابقية B5-F, B5-FD

B5-F		B5-FD		
الطابق	قوة القص الطابقية	الطابق	قوة القص الطابقية	Δ
5	-555.3152	5	-546.0701	9.245
4	-1071.3833	4	-1058.0479	13.34
3	-1458.4344	3	-1442.0312	16.4
2	-1716.4685	2	-1698.0201	18.45
1	-1845.4855	1	-1826.0146	19.47

نلاحظ ارتفاع قوة القص القاعدي بمقدار 19.5 KN بعد وضع القبة على المبنى وذلك عند الخطوة الأخيرة من خطوات الدفع، كما أن وجود القبة أدى إلى تأثير ظهور المفصل اللدن في المبنى (ظهر أول مفصل لدن في النموذج الغير حاوي على قبة عند الانتقال 24مم في حين ظهر أول مفصل لدن للمبنى الحاوي على قبة عند الانتقال 42مم)، بينما لم يتغير عدد المفاصل المشكلة عند الانتقال المحدد .

- في حين أدى وجود القبة إلى إعادة توزيع قوة القص الطابقية على الطوابق بحيث زادت قوة قص الطابقية للطوابق جميعها.



الشكل رقم (11): (قوه القص القاعدي-الانتقال المقابل)

❖ يبين الجدول (12) قوه القص القاعدي والانتقال المواقف وعدد المفاصل اللدانة لكل خوة من خطوات الدفع. كما يبيين

الجدول (13) قوه القص الطابقية في كل طابق

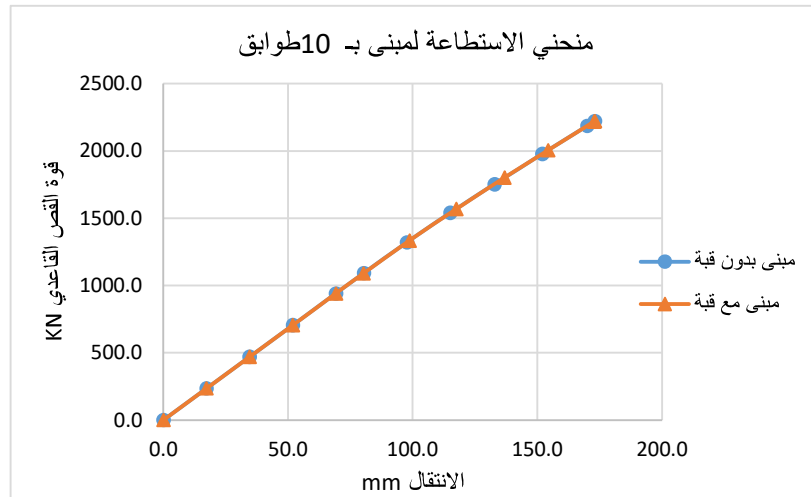
الجدول رقم (12): خطوات الدفع للنموذج (B10-F,B10-FD)

B10-F						B10-FD					
خطوة	الانتقال مع	قوه القص القاعدي KN	عدد المفاصل الكلي	المفصلة	خطوة	الانتقال مع	قوه القص القاعدي KN	عدد المفاصل الكلي	المفصلة	المفصلة	المفصلة
0	0.0	0.0	1272	0	0	0.0	0.0	1312	0		
1	17.3	235.1	1272	0	1	17.3	235.1	1312	0		
2	34.6	470.2	1272	0	2	34.6	470.1	1312	0		
3	51.9	705.3	1272	0	3	51.9	705.2	1312	0		
4	69.2	940.4	1272	0	4	69.2	940.2	1312	0		
5	80.4	1092.9	1269	3	5	80.3	1091.4	1310	2		
6	97.7	1322.0	1220	52	6	98.8	1335.5	1255	57		
7	115.1	1539.7	1126	146	7	117.5	1569.8	1154	158		
8	132.8	1753.4	1046	226	8	136.8	1801.1	1072	240		
9	152.0	1979.5	988	284	9	154.4	2006.4	1023	289		
10	170.0	2187.5	956	316	10	172.7	2218.9	990	322		
11	173.0	2222.2	951	321	11	173.0	2221.9	990	322		

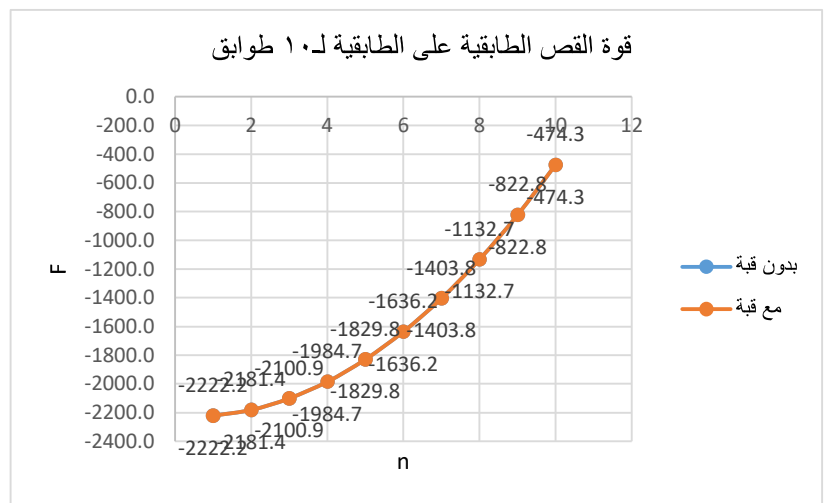
الجدول رقم (13): توزيع قوة القص الطابقية (B10-F, B10-FD)

B10-F		B10-FD		
الطابق	قوة القص الطابقية	الطابق	قوة القص الطابقية	Δ
10	-474.3	10	-476.6	-2.3
9	-822.8	9	-824.6	-1.8
8	-1132.7	8	-1134.0	-1.3
7	-1403.8	7	-1404.7	-0.9
6	-1636.2	6	-1636.7	-0.5
5	-1829.8	5	-1830.1	-0.2
4	-1984.7	4	-1984.7	0.0
3	-2100.9	3	-2100.8	0.2
2	-2181.4	2	-2181.1	0.3
1	-2222.2	1	-2221.9	0.4

- نلاحظ لم تتغير قوة القص القاعدي بعد وضع القبة على المبنى وذلك عند الخطوة الأخيرة من خطوات الدفع، في حين أن وجود القبة أدى إلى تأخير ظهور أول مفصل لدن، بينما ازدادت عدد المفاصل المتشكلة عند الانتقال المحدد بمقدار 1 مفصل. في حين أدى وجود القبة إلى إعادة توزيع قوة القص الطابقية على الطوابق بحيث زادت قوة قص الطابقية للطوابق جميعها. يعتبر المبنى ذو العشر طوابق لم يتأثر بعد إضافة القبة سوى بعدد المفاصل.



الشكل رقم (13): (قدرة القص القاعدي-الانتقال المقابل)



الشكل رقم (14): قوة القص الطابقية في كل طابق

❖ يبين الجدول (14) قوة القص القاعدي والانتقال الموافق وعدد المفاصل اللدانة لكل خوة من خطوات الدفع . كما يبين الجدول (15) قوة القص الطابقية في كل طابق .

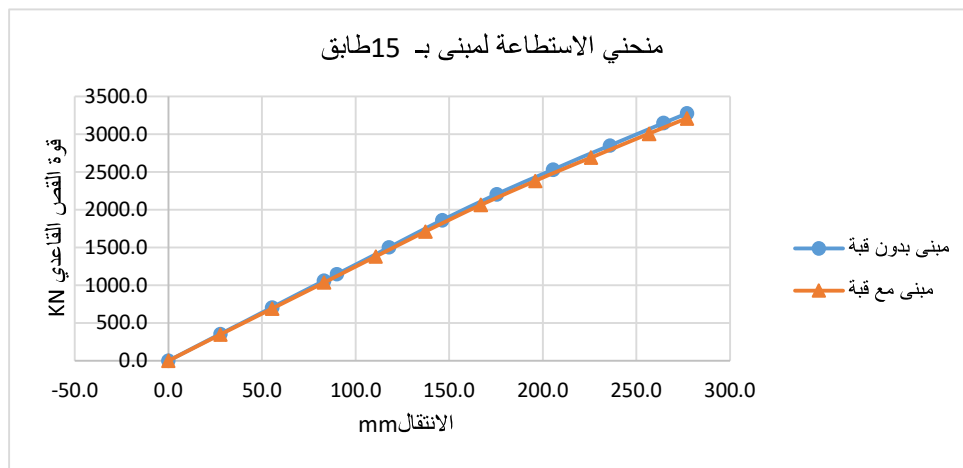
الجدول رقم (14): خطوات الدفع للنموذج (B15-F,B15-FD)

B15-F						B15-FD					
خطوة	الانتقال م	قوة القص KN	القوى العادي	عدد المفاصل	المتشكلة	خطوة	الانتقال م	قوة القص KN	القوى العادي	عدد المفاصل	المتشكلة
0	0.0	0.0	1920	0	0	0	0.0	0.0	1952	0	0
1	27.7	353.1	1920	0	1	27.7	345.1	1952	1952	0	0
2	55.4	706.2	1920	0	2	55.4	690.3	1952	1952	0	0
3	83.1	1059.3	1919	1.0	3	83.1	1035.4	1952	1952	0	0
4	90.1	1148.1	1918	2	4	110.8	1380.5	1952	1952	0	0
5	117.8	1501.2	1918	2	5	137.3	1710.7	1944	8.0	0	0
6	146.3	1863.4	1863	57	6	166.9	2063.9	1776	176	0	0
7	175.5	2205.6	1686	234	7	195.9	2380.8	1558	394	0	0
8	205.4	2531.1	1479	441	8	225.8	2691.2	1461	491	0	0
9	235.9	2852.6	1408	512	9	256.7	3006.5	1388	564	0	0
10	264.5	3148.6	1360	560	10	277.0	3210.9	1362	590	0	0
11	277.0	3277.3	1348	572							0

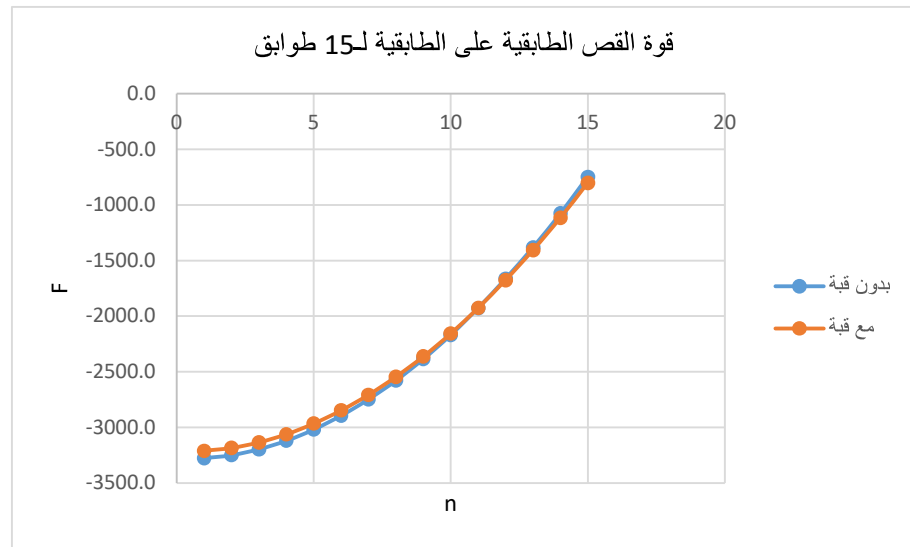
الجدول رقم (15): توزيع قوة القص الطابقية (B15-F,B15-FD)

B15-F		B15-FD		
الطابق	قوة القص الطابقية	الطابق	قوة القص الطابقية	Δ
15	-747.5	15	-802.8	-55.3
14	-1076.7	14	-1116.2	-39.5
13	-1382.4	13	-1407.2	-24.8
12	-1664.7	12	-1675.9	-11.2
11	-1927.6	11	-1926.2	1.5
10	-2169.1	10	-2156.0	13.1
9	-2386.4	9	-2362.8	23.5
8	-2579.5	8	-2546.7	32.8
7	-2748.5	7	-2707.6	40.9
6	-2894.7	6	-2846.8	48.0
5	-3020.6	5	-2966.6	54.0
4	-3121.1	4	-3062.2	58.9
3	-3197.3	3	-3134.7	62.5
2	-3250.5	2	-3185.4	65.1
1	-3277.3	1	-3210.9	66.4

- نلاحظ انخفاض قوة القص القاعدي بمقدار KN 66 بعد وضع القبة على المبني وذلك عند الخطوة الأخيرة من خطوات الدفع، في حين أن وجود القبة أدى إلى تأخير ظهور أول مفصل لدن (حيث ظهر أول مفصل لدن في المبني المرجعي عند الانتحال 83.1mm في حين ظهر في النموذج الحاوي على قبة عند الانتحال 137mm) ، بينما ازدادت عدد المفاصل المتشكلة عند الانتحال المحدد بمقدار 18 مفصل.
- في حين أدى وجود القبة إلى إعادة توزيع قوة القص الطابقية على الطوابق .



الشكل رقم(15) (قدرة القص القاعدي-الانتحال المقابل)



الشكل رقم (16): قوة القص الطابقية في كل طابق

❖ يبين الجدول (16) قوة القص القاعدي والانتقال الموافق وعدد المفاصل اللدانة لكل خوة من خطوات الدفع . كما يبين الجدول (17) قوة القص الطابقية في كل طابق .

الجدول رقم (16): خطوات الدفع للنموذج (B19-F,B19-FD)

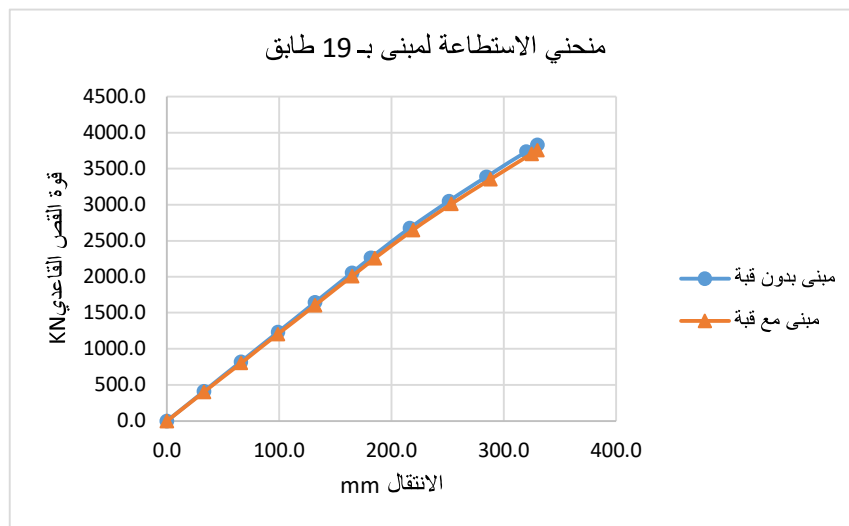
B19-F					B19-FD				
خطوة	الانفصال مم	قوة القص القاعدي KN	عدد المفصل	المفترضة	خطوة	الانفصال مم	قوة القص القاعدي KN	عدد المفصل	المفترضة
0	0.0	0.0	2432	0	0	0.0	0.0	2464	0
1	33.0	411.5	2432	0	1	33.0	401.9	2464	0
2	66.0	823.1	2432	0	2	66.0	803.8	2464	0
3	99.0	1234.6	2432	0	3	99.0	1205.7	2464	0
4	132.0	1646.1	2432	0	4	132.0	1607.7	2464	0
5	165.0	2057.7	2432	0	5	165.0	2009.6	2464	0
6	181.7	2266.4	2420	12.0	6	185.2	2256.0	2454	10
7	216.3	2676.8	2184	248	7	219.3	2650.9	2220	244
8	251.2	3052.6	1924	508	8	253.5	3011.8	2011	453
9	284.9	3390.8	1769	663	9	288.3	3355.2	1794	670
10	320.2	3737.8	1720	712	10	325.0	3707.4	1728	736
11	330.0	3833.4	1710.0	722	11	330.0	3754.8	1719	745

الجدول رقم (17): توزع قوة القص الطابقية (B19-F,B19-FD)

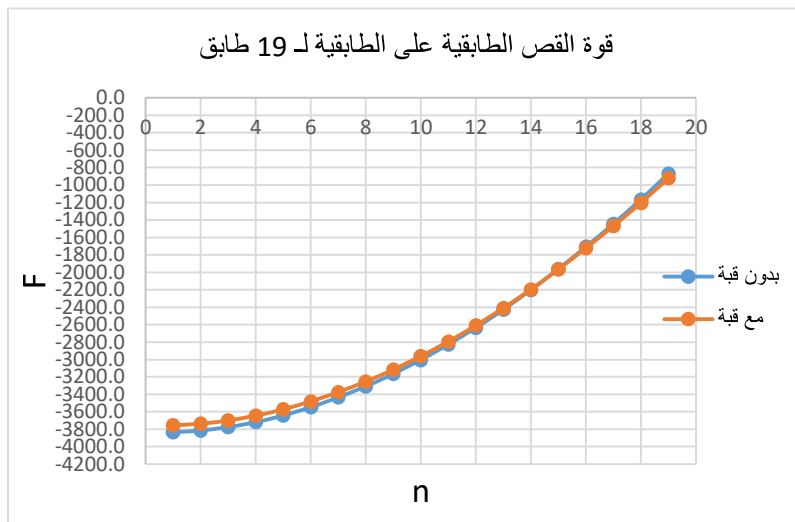
B19-F		B19-FD		
الطابق	قوة القص الطابقية	الطابق	قوة القص الطابقية	Δ
19	-870.0	19	-922.3	-52.3
18	-1165.6	18	-1204.8	-39.3
17	-1444.7	17	-1471.6	-26.9
16	-1707.4	16	-1722.7	-15.3
15	-1962.6	15	-1966.6	-4.0
14	-2203.4	14	-2196.8	6.6
13	-2427.2	13	-2410.8	16.5
12	-2635.8	12	-2610.1	25.7
11	-2827.4	11	-2793.3	34.2
10	-3003.5	10	-2961.6	41.9
9	-3164.4	9	-3115.4	49.0
8	-3307.8	8	-3252.4	55.4
7	-3433.7	7	-3372.8	60.9
6	-3546.5	6	-3480.5	65.9
5	-3641.1	5	-3571.0	70.1
4	-3716.8	4	-3643.3	73.4
3	-3774.2	3	-3698.2	76.0
2	-3812.9	2	-3735.2	77.7
1	-3833.4	1	-3754.8	78.6

- نلاحظ انخفاض قوة القص القاعدي بمقدار KN 78 بعد وضع القبة على المبني وذلك عند الخطوة الأخيرة من خطوات الدفع، في حين أن وجود القبة أدى إلى تأخير ظهور أول مفصل لدن، بينما ازدادت عدد المفاصل المتشكلة عند الانتقال المحدد بمقدار 18 مفصل.

- أدى وجود القبة إلى إعادة توزيع قوة القص على الطوابق.



الشكل رقم (17): (قوة القص القاعدي-الانتقال المقابل)



الشكل رقم (18): قوة القص الطابقية في كل طابق

يظهر الجدول (18) الدور الأساسي للاهتزاز والكتلة المساهمة الموافقة لكل نموذج من النماذج المدرستة.

كما تم حساب الفرق كنسبة مئوية.

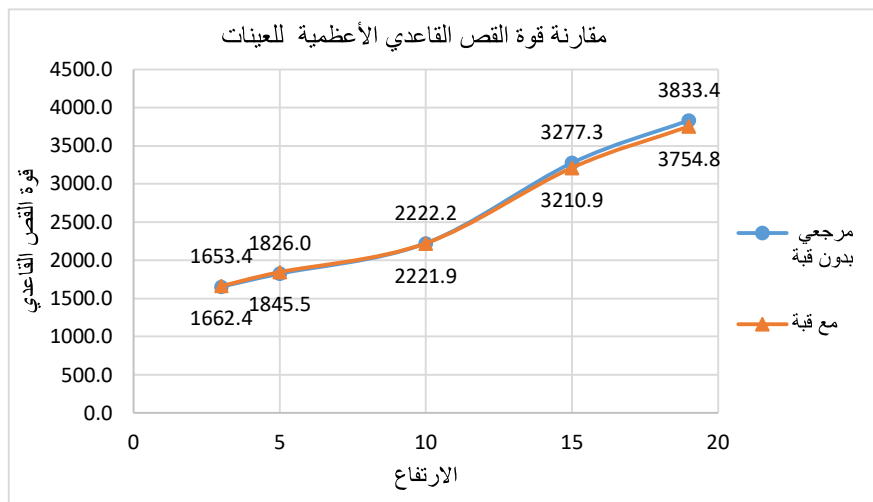
الجدول رقم (18): الدور الأساسي للاهتزاز لكل نموذج ونسبة الكتلة المساهمة الموافقة له.

	الدور الأساسي للاهتزاز	نسبة مساهمة الكتلة الموافقة	$\Delta T\%$	$\Delta m\%$
F-3-ND	0.93	76%		
90F-3-D	0.97	90%	4.3	18.4
F-5-ND	1.41	78%		
90F-5-D	1.45	70%	2.8	-10.3
F-10-ND	2.25	75%		
90F-10-D	2.3	76%	2.2	1.3
F-15-ND	2.95	84%		
90F-15-D	2.97	78%	0.68	-7.14
F-19-ND	3.27	75%		
90F-19-D	3.3	75%	0.92	0

إن وجود القبة أدى إلى زيادة الدور الأساسي للاهتزاز في جميع النماذج وبلغت أقصى زيادة حوالي 4.3%

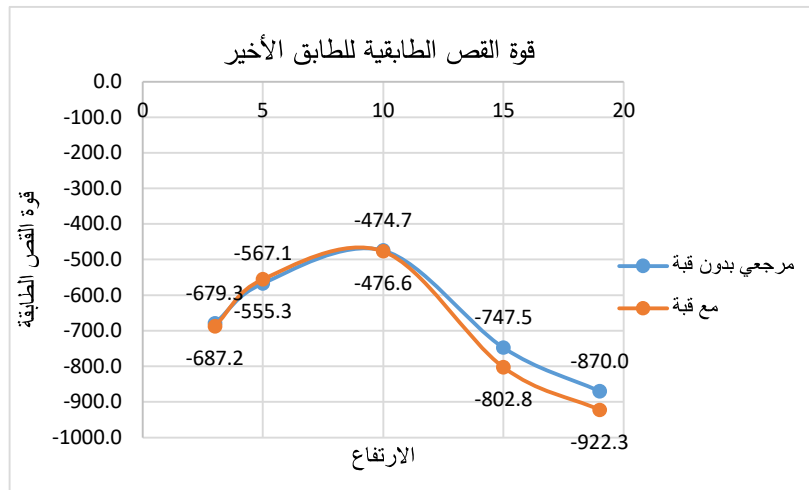
إن نسبة مساهمة الكتلة في الدور الأساسي للاهتزاز بلغت أقصى زيادة لها 18%.

يظهر الشكل (19) مقارنة النتائج النهائية للتحليل (عند الخطوة الأخيرة من الدفع) لجميع العينات ، حيث يظهر المحور الأفقي ارتفاع الطابق الموافق للعينة ، والمحور الشاقولي قيمة قوة القص القاعدي .



الشكل رقم (19): مخطط علاقه (n-V) عند الانتقال الهدف

يظهر الشكل (20) مقارنة النتائج النهائية للتحليل (عند الخطوة الأخيرة من الدفع) لجميع العينات ، حيث يظهر المحور الأفقي ارتفاع الطابق الموافق للعينة ، والمحور الشاقولي قيمة قوة القص الطابقية للطابق الأخير .



الشكل رقم (20): مخطط علاقه (F-n) عند الانتقال الهدف

7. الاستنتاجات

بمقارنة نتائج المجموعات الكلي نستنتج ما يلي:

- 1- إن تأثير إضافة القبة على قوة القص الفاعلي للمبني ذات الجمل الإطارية يعتبر ضئيل في النماذج المدروسة وهو يزداد مع زيادة الارتفاع، فقد بلغ أكبر فرق 78KN وذلك من أجل النموذج ذو الـ19 طابق وهي حوالي 2.5%.
- 2- ازدادت قوة القص الطابقية في الطابق الحامل للقبة في جميع النماذج لتبلغ أعلى زيادة في المبني ذو الـ15 طابق حيث بلغت نسبة الزيادة حوالي 7.3%.
- 3- ازداد عدد المفاصل المتشكلة في المبني عند الانتقال الهدف بعد إضافة القبة في جميع النماذج ماعدا النموذج ذو الـ3 طوابق. في حين أدى وجود القبة إلى تأخير ظهور أول مفصل لدن في المبني المرجعي من أجل جميع النماذج المدروسة.
- 4- ازداد الدور الأساسي للاهتزاز في جميع النماذج المدروسة وبلغت أقصى زيادة حوالي 4.3% من أجل العينة بـ3 طوابق في حين ازدادت نسبة مساهمة الكتلة الموافقة حوالي 18%.

9. المراجع:

References

- [1] Kenawy, M. (2015). A proposed segmented precast concrete spherical cap: Geometry, structural stability and construction.
- [2] Michiels, T., & Adriaenssens, S. (2017). Identification of key design parameters for earthquake resistance of reinforced concrete shell structures. *Engineering Structures*, 153, 411–420.
- [3] Abdalla, J. A., & Mohammed, A. S. (2008, October). Dynamic characteristics of large reinforced concrete domes. In *The 14th World Conference on Earthquake Engineering*.
- [4] Ghebreselasie, H. M., & Situ, Y. (2015). *Structural Analysis of Thin Concrete Shells* (Master's thesis, NTNU).
- [5] FEMA 356,2000 Prestandard and Commentary for the Rehabilitaion of Building,Federal Emergency Magement Agency.
- [6] الكود العربي السوري لتصميم وتنفيذ المنشآت الخرسانية المسلحة 2013 الملحق (2).
- [7] الكود العربي السوري لتصميم وتنفيذ المنشآت الخرسانية المسلحة 2012 الكود الأساس.
- [8] "تصميم الأبنية البيتونية المسلحة لمقاومة أحmal الرياح والزلزال بالاستعانة ببرنامج ETABS2018 د.م ربيع الصفدي دمشق 2020